

جغرافیا و توسعه شماره ۵۲ پاییز ۱۳۹۷

وصول مقاله: ۹۵/۱۲/۱۹

تأیید نهایی: ۹۶/۰۶/۰۷

صفحات: ۱۱۷-۱۴۰

## بودسی شکل‌گیری و توسعه کوه‌ریگ‌ها

مورد مطالعه: دشت ابراهیم‌آباد-مهریز

دکتر محمد شریفی‌پیچون<sup>۱\*</sup>، فاطمه زارع<sup>۲</sup>، کاظم طاهری‌فزاد<sup>۳</sup>

### چکیده

کوه‌ریگ یکی از انواع تجمع رسوبات ماسه‌ای ریزدانه است که در دامنه برخی کوه‌ها و تپه‌های نواحی خشک و نیمه‌خشک قرار گرفته است. این لندرورم‌ها برخلاف تپه‌های ماسه‌ای، لندرورم‌های پیچیده‌ای هستند که تحت تأثیر فرایندهای مختلف بوجود آمده و توسعه پیدا می‌کنند. این پژوهش به دنبال بررسی چگونگی پیدایش، تحول و دخالت فرایندهای مختلف کوه‌ریگ واقع بر دامنه کوه‌های شرقی دشت ابراهیم‌آباد در غرب شهر مهریز است. برای انجام این مهم، به بررسی جهت و شدت بادهای غالب و فرعی منطقه، همچنین پارامترهای هندسی ۱۱ نمونه رسوی برداشت شده در امتداد نیمرخ طولی و عمقی کوه‌ریگ‌ها پرداخته شد. یافته‌ها نشان می‌دهد که جهت و سرعت بادهای غالب به تنها بی‌سبب شکل‌گیری و بالارفتن دانه‌های ماسه بروی دامنه کوه نشده است؛ چراکه در برخی نمونه‌ها حدود ۳۰ درصد گراول وجود دارد که باد در هیچ شرایطی قادر به جابه‌جایی آن‌ها نیست. بررسی جهت بادهای غالب و حتی فرعی نیز با نحوه استقرار و تهنشیت کوه‌ریگ‌ها، نشان داد که کوه‌ریگ‌ها با جهت هیچ‌کدام از بادها قابل توجیه نیست؛ از سوی دیگر، این تجمع ماسه‌ها در پای صخره‌های سنگی کنگلومرای کرمان قرار گرفته که به سادگی تخریب فیزیکی به‌شکل دانه‌ای، به‌ویژه در آب‌وهوای سرد پیدا می‌کند. از این‌نظر، شاکله اصلی کوه‌ریگ‌های دشت ابراهیم‌آباد حاصل فرایند پایین‌آمدن دانه‌های ماسه پس از تخریب به شکل هوازدگی فیزیکی کنگلومرای کرمان در دوره‌های سرد گذشته تحت تأثیر نیروی ثقل است. پس از شکل‌گیری شاکله اصلی کوه‌ریگ برخوی دامنه، بادها نیز اثرگذار بوده و دانه‌های ریزتر را از بخش دشت و از داخل رسوبات آبرفتی و مخروط‌افکنهای به داخل کوه‌ریگ‌ها منتقل کرده و پس از برخورد با دامنه کوه، رسوی پیدا کرده است.

واژه‌های کلیدی: دشت ابراهیم‌آباد، کوه‌ریگ، فرایند بادی، کنگلومرای کرمان، رسوی‌گذاری.

چهار مقطع با ضخامت‌های متفاوت و برتری ماسه‌های بادی درست شده است. مواد دیگر تشکیل دهنده کوهریگ (به حز ماسه‌بادی) عبارت‌اند از: واریزه‌ها و در برخی نقاط سایر مواد حاصل از حرکات دامنه‌ای، رسوبات آبرفتی و در بیشتر موارد لایه‌هایی از خاک‌های قدیمی (Thomas et al, 1997: 378). این لندرفرم‌ها اغلب در دوره‌های گذشته زمین‌شناسی شکل گرفته و بیشتر آن‌ها در حال حاضر تثبیت‌شده و تحرکی ندارند. شکل توپوگرافی آن‌ها نیز متأثر از توپوگرافی زیرینا و همچنین دیواره‌های کوهستانی پیش‌روی آن‌ها بوده که بعضاً بسیار پرشیب و گاهی کم‌شیب هستند؛ بنابراین، کوهریگ‌ها در برگیرنده مقدار بالرزشی از اطلاعات، از پیشینه آب‌وهوای و طبیعی یک منطقه قلمداد شده و می‌توانند به ما در شناخت تغییرات آب‌وهوای و محیطی کمک کنند. در مورد ماسه‌های بادی و تپه‌های ماسه‌ای در ایران و سایر مناطق دیگر جهان، مطالعات نسبتاً خوبی صورت گرفته است؛ اما درباره کوهریگ‌ها به عنوان یک لندرفرم متفاوت، پژوهش‌ها بسیار اندک بوده و عمده‌تا در دو دهه اخیر، این عارضه‌ها مورد توجه محققین و بهویژه ژئومورفولوژیست‌ها قرار گرفته است.

اصطلاح «Sand Ramp»<sup>2</sup> نخستین بار در سال ۱۹۸۹ توسط «چاکریان» برای یک سری عارضه بیابانی در بیابان «موجاو»<sup>3</sup> کالیفرنیا مورد استفاده قرار گرفت (Tchakerian, 1991 & 2002)؛ اما نخستین پژوهش منتشر شده در زمینه کوهریگ‌ها متعلق به «زیمبلمن»<sup>4</sup> و همکاران در سال ۱۹۹۵ است که درباره کوهریگ‌های بیابان موجاو کالیفرنیا انجام دادند. «وارن و لا یونگستون»<sup>5</sup> (۱۹۹۶) بیان کردند که کوهریگ‌ها عارضه پیچیده‌ای هستند که ممکن است در اثر صعود یا نزول ماسه‌ها و دانه‌های رسوبی، از

## مقدمه

«کوهریگ»<sup>1</sup> یکی از انواع تجمع رسوبات ماسه‌ای ریزدانه است که در دامنه برخی کوه‌ها و تپه‌های نواحی خشک و نیمه‌خشک قرار گرفته است. این لندرفرم‌ها بر خلاف تپه‌های ماسه‌ای، لندرفرم‌های پیچیده‌ای هستند که تحت تأثیر فرایندهای مختلف شکل گرفته و توسعه و تحول پیدا می‌کنند. در واقع رسوبات ماسه‌ای که توسط باد حمل می‌شوند، پس از برخورد با مانع کوه، بر جای گذاشته می‌شوند؛ بنابراین، شکل‌گیری کوهریگ‌ها حاصل وجود حجم زیاد ماسه ریزدانه، باد و دیواره بزرگ و مرتفع کوهستانی در مسیر باد غالب است. اگرچه عارضه کوهریگ از نظر قطع و ضخامت رسوبات، مشابه سایر لندرفرم‌های انباشتی بادی به نظر می‌رسد، اما از نظر دینامیک، مورفولوژی، مواد تشکیل دهنده و فرایندهای اثرگذار در پیدایش و تحول، منحصر به فرد بوده و با دیگر لندرفرم‌های بادی بسیار متفاوت هستند. این لندرفرم‌ها در دامنه‌های کوهستانی یا پای دیواره‌های ممتد می‌توانند هم به صورت تلمسه‌های صعودی یا بالارو و هم به صورت تلمسه‌های نزولی یا پایین رو ظاهر شوند. در حالی که سایر لندرفرم‌های بادی در سطوح هموار و دشت‌ها شکل می‌گیرند، کوهریگ‌ها اغلب در پای دامنه و بر روی دامنه کوه‌ها به وجود می‌آیند. مهمترین تفاوت کوهریگ با سایر لندرفرم‌های بادی در این است که مواد غیربادی در میان مجموعه نهشته‌های بادی وجود دارد. اساساً دانه‌های ماسه که توسط باد جابه‌جا می‌شوند، تحت تأثیر عوامل مختلف مانند توپوگرافی محل، اندازه دانه‌های رسوبی، لیتولوژی و همچنین دخالت‌های انسانی در فاصله‌های متفاوتی نهشته‌گذاری می‌شود (Pewe, 1981: 303).

کوهریگ‌ها برخلاف تلمسه‌ها و ریگزارهایی که از تپه‌های ماسه‌ای متفاوت تشکیل می‌شوند، از سه یا

2- Mojave

3-Zimbelman et al

4-Warren & Livingstone

1- Sand ramps

کافی در اختیار بوده و بستر مناسب برای رسوب‌گذاری وجود داشته باشد؛ از این‌رو، در طولانی مدت بروی زمین باقی مانده و کمتر تحت‌تأثیر نوسانات اقلیمی قرار می‌گیرند.

«تelfer<sup>۳</sup>» و همکاران (۲۰۱۲) به مطالعه کوه‌ریگ‌های پارک ملی «گلدن گیت<sup>۴</sup>» در آفریقای جنوبی پرداختند و مشاهده کردند که انباشت رسوب‌ها به‌شکل کوه‌ریگ، پس از آخرین دوره یخچالی و دوره حاکمیت جنوب یخچالی در منطقه، بین بازه زمانی ۱۶ تا ۴۵ هزار سال پیش اتفاق افتاده است. کومار و همکاران (۲۰۱۷) به بررسی کوه‌ریگ‌های منطقه «لداخ<sup>۵</sup>» در هندوستان و «کرونولوژی<sup>۶</sup>» آن براساس تکنیک «لومینیسن<sup>۷</sup>» پرداختند (Kumar et al, 2017:13). نتایج مطالعات آن‌ها نشان داد که کوه‌ریگ‌ها در اثر ترکیبی از فعالیت‌های بادی، فرسایش دامنه‌ها و فعالیت‌های رسوب‌های جریانی-دريچه‌ای به وجود آمده است.

در ایران نیز مطالعات بروی عارضه کوه‌ریگ به مهرشاهی و شریفی پیچون محدود می‌شود. مهرشاهی سال ۱۹۹۷ در رساله دکترای خود به مطالعه کوه‌ریگ‌های اردکان اقدام کرد؛ سپس در سال ۱۳۷۷ این مقاله را به فارسی برگرداندند. در بررسی تشکیل، تحول و تعیین سن کوه‌ریگ اردکان، مشاهده شد که شرایط در زمان حداقل آخرين دوره یخچالی جهت حمل و تراکم ماسه‌بادی در این منطقه مناسب‌تر از حال حاضر بوده است؛ چراکه همانکنون ماسه زیادی برای تغذیه آن وجود ندارد. همچنین، آن‌ها در نتیجه مطالعه خود اظهار داشتند که جهت بادها در زمان شکل‌گیری این تپه‌ها با جهت بادهای کنونی متفاوت

دامنه کوه‌ها به وجود بیایند؛ بنابراین در اثر فرایندهای جریانی یا نیروی ثقل، به پای دامنه کوه‌ها می‌ریزند. از نظر آن‌ها نیز کوه‌ریگ‌ها ترکیبی از ماسه‌های بادی، نهشته‌های آبرفتی و کوه‌رفتی‌اند. هرچند ممکن است در ایجاد کوه‌ریگ، یک یا چند مورد از این عوامل نقش ایفا کنند. این پیچیدگی و تشکیل‌شدن‌شان توسط فرایندهای مختلف، مانند باد، آب و حرکات توده‌ای، گویای آن است که کوه‌ریگ‌ها اطلاعات دیرینه محیطی غنی را در خود نهفته دارند.

لانکستر (۱۹۹۶) با مطالعه کوه‌ریگ‌های مجاور در کالیفرنیا بیان داشت که کوه‌ریگ، تجمعی از نهشته‌های بادرفتی، آبرفتی و تالوس‌ها است که درنتیجه برهم‌کنش فرایند بادی و فرایندهای دامنه‌ای در نواحی بیابانی در مجاورت ناهمواری‌ها و جنب کوریدورهای انتقال ماسه به‌شکل محلی و منطقه‌ای به وجود می‌آیند. به هنگام پایداری این عرضه‌ها، تالوس‌ها و «پالتوسل‌ها<sup>۸</sup>» بروی آن‌ها قرار گرفته و آن‌ها را می‌پوشانند.

ماهان و همکاران (۲۰۰۷) ضمن مطالعه رسوبات آبرفتی و سیلابی کواترنر در شمال شرق بیابان موهاو، برای سن‌گذاری کوه‌ریگ‌های این منطقه به‌شکل لومینیسانس اقدام کردند (Mahan et al, 2007: 66). نتایج پژوهش آن‌ها نشان داد، اگرچه سابقه تشکیل کوه‌ریگ‌های منطقه موردنظر به دوره‌های سرد یخچالی می‌رسد، اما در طول هولوسن هم، بسته به جهت و میزان ماسه‌های بادآورده، امکان تراکم آن‌ها وجود داشته است. «بیتمن<sup>۹</sup>» و همکاران (۲۰۱۲) در مطالعه خود بروی شکل‌گیری کوه‌ریگ‌ها در بیابان مجاور به این نتیجه رسیدند که کوه‌ریگ‌ها با سرعت بالایی تشکیل می‌شوند؛ بویشه جایی که منابع ماسه

3.Telfer

4.Golden Gate

5.Ladakh

6.Choronology

7.Luminescence

1.Paleosol

2.Bateman

بادی و ساحلی استفاده شده است (شهریار و همکاران؛ ۱۳۹۲: ۱۱).

بر این اساس، اغلب از پارامترهای آماری مانند میانگین، انحراف معیار، کچشیدگی و کشیدگی برای بررسی و تحلیل دانه‌های رسوبی استفاده می‌شود (Guang et al; 2004:177).

زادی و همکاران (۲۰۰۸) به بررسی دانه‌های رسوبی ماسه‌ای در بخش شرقی بیابان نقب با استفاده از دانه‌سنجدی و میکرومورفولوژی دانه‌های رسوبی پرداختند. بدین منظور از تحلیل پارامترهای هندسی دانه‌های ماسه استفاده کردند.

قانعی بافقی و یاراحمدی (۱۳۹۰) در بررسی تپه‌های ماسه‌ای شمال غربی بافق از روش گرانولومتری و سنجش پارامترهای آماری ماسه‌ها پرداختند و بیان کردند که جهت بادهای فرساینده، نقش اساسی در نحوه دانه‌بندی ذرات ماسه دارد. عباسی و همکاران (۱۳۹۰) از روش‌های دانه‌بندی و کانی‌شناسی برای منشأیابی رسوبات تپه‌های ماسه‌ای بلوچستان استفاده کردند و نشان دادند که منشأ بیشتر رسوبات با منشأ بادی و فراوانی ۷۱ درصد مطابقت دارد.

در این پژوهش به بررسی رسوبات ماسه‌ای واقع در دامنه‌های شمال شرقی دشت ابراهیم‌آباد در غرب مهریز می‌پردازد. دشت ابراهیم‌آباد مهریز با وسعتی بالغ بر ۱۹۰ کیلومترمربع در غرب شهر مهریز و در دامنه‌های شرقی شیرکوه قرار گرفته که تنها در بخش دامنه‌های شرقی آن ریگ‌ها تجمع پیدا کرده‌اند. جایی که کنگلومرهای کرمان توسط فعالیت‌های تکتونیک به شکل یک خطواره بالاًمدگی پیدا کرده و به صورت یک سد، دشت ابراهیم‌آباد را از مخروط‌افکنه بزرگ مهریز جدا می‌کند. این ریگ‌ها هنوز فعل بوده و در حال توسعه و پیشروع هستند؛ با وجود آنکه ممکن است فعالیت‌های شان با دوره‌های جنب‌یخچالی

بوده است. از نظر آن‌ها، افت دما سبب افزایش هوازدگی فیزیکی شده و این امر واریزه‌ها را بیشتر کرده است. در پژوهشی دیگر مهرشاهی (۱۳۷۹) به پراکندگی کوه‌ریگ‌های استان یزد پرداخت. همچنین مهرشاهی در سال (۱۳۹۰)، به مطالعه کوه‌ریگ‌شناسی در استان یزد، در سه منطقه کوه‌ریگ‌های معدن حوض سفید (اردکان یزد)؛ کوه‌ریگ‌های بغداد آباد (مهریز) و کوه‌ریگ‌های شیرکوه با استفاده از ۳ روش مروری، توصیفی و میدانی پرداخته است که هدف از آن را معرفی این پدیده، بررسی ویژگی‌های رسوب‌شناسی و موقعیت استقرار کوه‌ریگ‌ها در استان یزد مطرح کرده است.

مهرشاهی و خسرویانی (۱۳۸۹)، در مطالعه کوه‌ریگ‌های دامنه باختری تپه‌های بغداد آباد مهریز، به دنبال منشأیابی ماسه‌های کوه‌ریگ‌های منطقه مذکور بوده و برای دستیابی به این هدف از ترکیب داده‌ها و روش‌های ژئومورفولوژی، کانی‌شناسی، سنجش از دور و سیستم اطلاعات جغرافیایی استفاده کرده‌اند.

شریفی پیچون و دهفان (۱۳۹۵) به ارزیابی فرایندهای مؤثر بر شکل‌گیری و تحول کوه‌ریگ‌های تنگ‌چنار در جونب شهر یزد و مهریز پرداختند و بیان داشتند که فرایندهای دامنه‌ای، کوه‌ریختی، فلورویالی، بادی-آبی، در قلمرو مورفوژنتیک و مورفوکلیماتیک جنب‌یخچالی با رخنمون سنگ‌های دانه‌ای مانند گرانیت‌ها در شکل‌گیری و توسعه کوه‌ریگ‌ها نقش داشته‌اند.

درباره روش‌شناسی نهشته‌های رسوبی ماسه‌ای در سراسر جهان هم مطالعات خوبی انجام گرفته است. به طور کلی، در بیشتر پژوهش‌هایی که درباره تپه‌های ماسه‌ای، شکل‌گیری و توسعه آن‌ها انجام گرفته است؛ از تحلیل‌های دانه‌سنجدی و شکل‌سنجدی به عنوان ابزارهای متداول در تعیین منشأ و شناخت ماسه‌های

سردتر گذشته به وجود آمده و تحت تأثیر نیروی گرانی زمین پایین آمده‌اند.

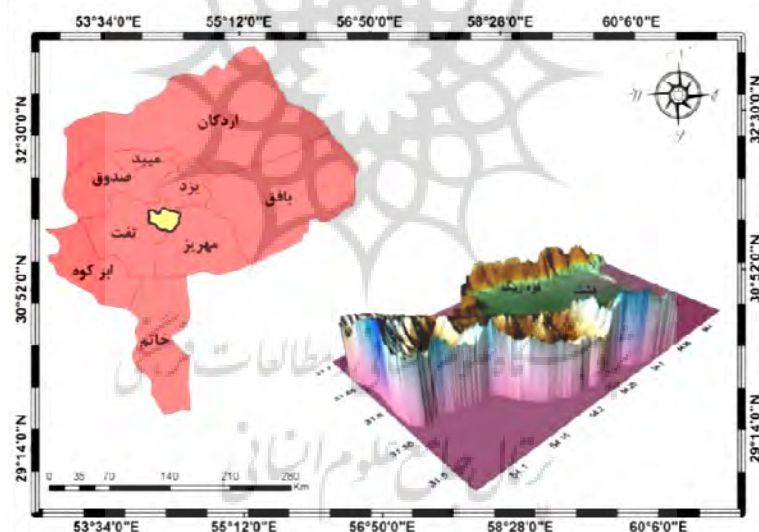
### مواد و روش‌ها

دشت ابراهیم‌آباد مهریز با وسعتی بالغ بر ۱۹۰ کیلومترمربع در غرب شهر مهریز و در دامنه‌های شرقی شیرکوه قرار گرفته است. این حوضه از نظر موقعیت جغرافیایی در محدوده ۱۴ $^{\circ}$  تا ۵۴ $^{\circ}$  طول جغرافیایی شرقی و ۳۰ $^{\circ}$  تا ۳۱ $^{\circ}$  عرض جغرافیایی شمالی واقع شده است.

گذشته مرتبط باشد. سوال اصلی این است که علت تهنشست این‌گونه رسوبات در این مکان چیست که بر این اساس دو فرضیه زیر مطرح شده‌اند:

۱. شکل‌گیری این کوهریگ‌ها به شکل صعودی و بالارونده بروی دامنه نسبتاً پرشیب کوه بوده و در این صورت فرایند باد، عامل اصلی شکل‌گیری آن‌ها بوده و رسوبات از سطح دشت که اغلب از رسوبات آبرفتی مخروط‌افکنهای و ساحل رودخانه‌ای هستند، تشکیل شده و به این محل آورده شده است.

۲. شکل‌گیری کوهریگ‌ها حالت نزولی و پایین‌رونده داشته و این رسوبات به‌دلیل تخریب فیزیکی کنگلومرای کرمان با رسوبات سست در آب‌وهوای

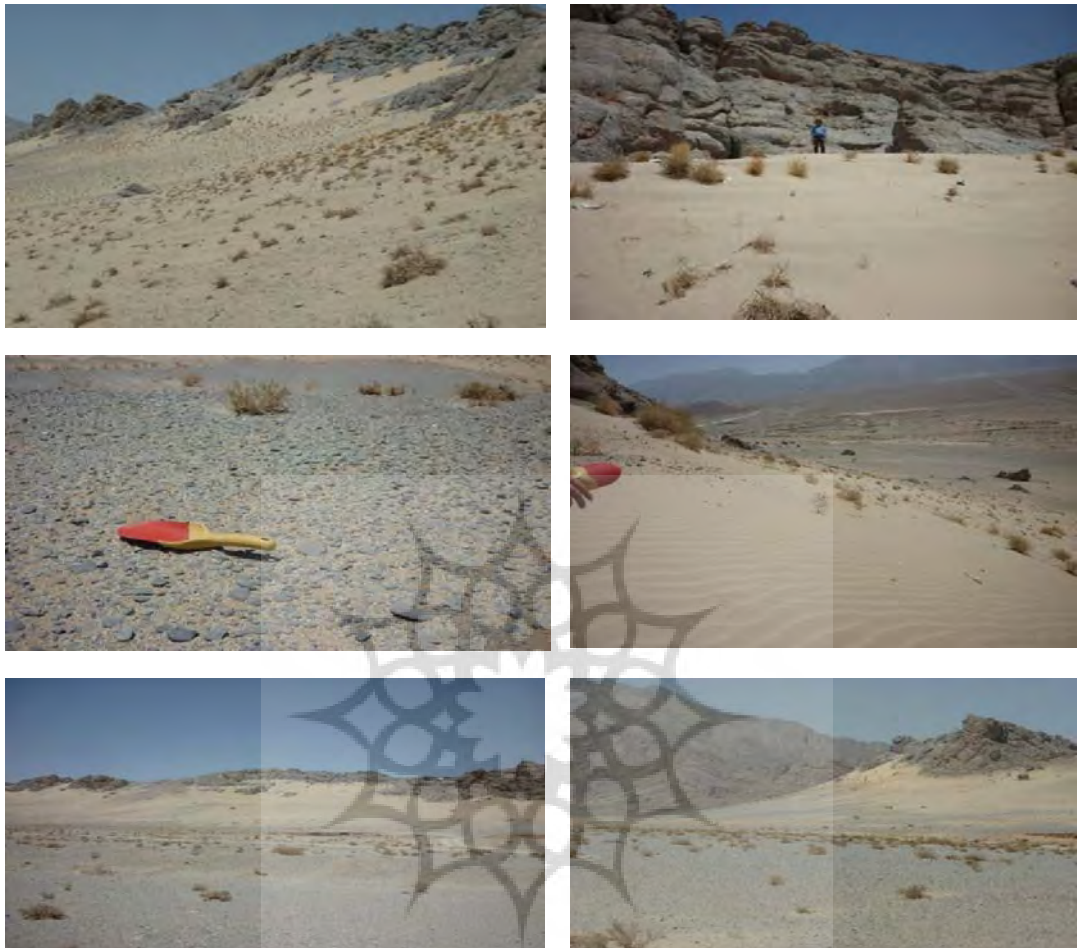


شکل ۱: موضعیت منطقه مورد مطالعه

تئیه و ترسیم: نگارندگان، ۱۳۹۶

و حتی بروی صخره‌های با شیب کمتر قرار گرفته است (شکل ۲).

رسوبات کوهریگ در همه بخش‌های دامنه از ساحل رودخانه گرفته تا پای صخره‌ها در ارتفاعات بالا



شکل (۲) تصاویر کوه‌ریگ دشت ابراهیم‌آباد

تاریخ: ۱۳۹۶

لیتلولوژی انباشته از رسوبات آبرفتی و بعضًا بادرفتی کواترنری است. شیرکوه از نظر ژئومورفولوژی جزو کوه‌های پراکنده ایران مرکزی به‌شمار رفته و از نظر واحد زمین‌شناسی، در نزدیکی مرز زون ایران مرکزی و کمربند ارومیه-دختر قرار گرفته است.

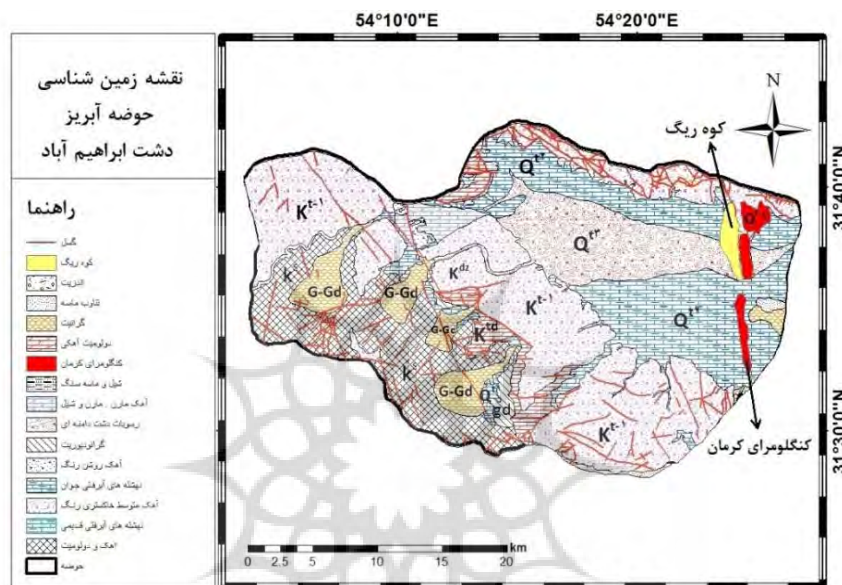
در دوره ژوراسیک میانی، با تولیت گرانیتی شیرکوه در منطقه نفوذ و در فاصله زمانی ژوراسیک بالا-کرتاسه زیرین واحد تخریبی سنجستان با ناپیوستگی آذرین بر روی گرانیت شیرکوه رسوب کرده است. بیشتر سنگ‌های دامنه‌های مشرف به دشت را سنگ‌های آهکی و آهک دولومیتی کرتاسه تشکیل

شکل (۲) تصاویر کوه‌ریگ دشت ابراهیم‌آباد را نمایش می‌دهد که در آن قرارگیری رسوبات ماسه‌ای بر روی صخره‌ها، پوشش کل دامنه و منطقه کاوشی باد در پایین دست دامنه و سطح دشت، در تصویرهای جداگانه‌ای آورده شده است.

منطقه مورد مطالعه، یک دشت ساختمانی بوده که کوه‌های بخش شمالی و جنوبی شیرکوه را در شرق شیرکوه از هم جدا کرده و به عنوان سطح اساس بخش عمداتی از حوضه‌های بزرگ شیرکوه مانند طزرجان، دهبالا، فخرآباد و منشاد درآمده است؛ بنابراین، از نظر ساختاری، جزئی از شیرکوه به‌شمار آمده و از نظر

برمی‌گردد که احتمالاً در اواخر سنوزوئیک و کواترنر توسط فعالیت گسل‌ها بالاًمدگی پیدا کرده و رسوبات نئوژن را قطع کرده است. کوه‌ریگ‌ها در پای دامنه این کوه‌ها شکل‌گرفته و احتمالاً در پیدایش آن‌ها نقش اصلی زمینه‌ساز را فراهم کرده‌اند (شکل ۳).

می‌دهد؛ اما کوه‌های مشرف بر دامنه‌های بخش شرقی دشت که به شکل یک خطواره کم‌عرض، تقریباً بخش عمدۀ پایین دست دشت را سد کرده و آن را از دشت مهریز جدا می‌سازد، کنگلومرای کرمان تشکیل داده است. زمان رسوب‌گذاری آن به آغاز پالئوسن



شکل ۳: نقشه زمین‌شناسی دشت ابراهیم آباد (اقتباس از نقشه زمین‌شناسی نیر)

تهیه و ترسیم: نگارندگان ۱۳۹۶

در همین راستا، نخست نقشه‌های توپوگرافی، زمین‌شناسی و DEM به عنوان داده پایه وارد نرم‌افزار ARC GIS ۱۰,۳ شده و نقشه‌های رقومی و داده‌های موردنیاز استخراج شدند. پس از بررسی داده‌ها و نقشه‌های اولیه، از منطقه مورد مطالعه در دو دوره زمانی خرداد و آبان ۱۳۹۵ بازدید به عمل آمد. هنگام بازدید، ۱۱ نمونه رسوبی برداشت شد، ۵ نمونه در امتداد نیمرخ طولی از ارتفاع حدود ۱۵۵۰ تا ۱۶۵۰ متر و ۶ نمونه دیگر در یک ترانشه رسوبی به عمق ۲۰ سانتی‌متر برداشت و به آزمایشگاه ژئومورفولوژی و خاک‌شناسی برای بررسی‌های رسوبی و دانه‌سنگی منتقل شدند (جدول ۱).

(شکل ۳) نقشه زمین‌شناسی دشت ابراهیم‌آباد و کوه‌های مشرف بر آن، که در آن کنگلومرای کرمان به شکل قرمز و کوه‌ریگ‌های منطقه مورد مطالعه به شکل زرد نشان داده شده است.

تحقیق حاضر، بیشتر بر مبنای بررسی‌ها و مطالعات میدانی و پیمایش‌های زمینی قرار دارد. با این حال، از نقشه زمین‌شناسی ۱/۱۰۰۰۰۰، نقشه‌های توپوگرافی ۱/۵۰۰۰۰ منطقه، نقشه رقومی ارتفاعی (DEM) با قدرت تفکیک ۲۰ متر، تصاویر ماهواره‌ای گوگل ارث، Arc Gis 10.3، و نرم‌افزارهای همچون Corel, Excel, Windrose, Gradistat, Surfer13, DRAW X6 در بررسی و تحلیل کوه‌ریگ منطقه و ترسیم نقشه‌ها و نمودارها استفاده شده است.

جدول ۱: موقعیت جغرافیایی و ارتفاع از سطح دریا برای نمونه‌های برداشت‌شده کوه‌ریگ

تعداد نمونه	ارتفاع	عرض جغرافیایی (درجه- دقیقه- ثانیه)	طول جغرافیایی (درجه- دقیقه- ثانیه)	جامعه
۱	۱۵۳۰	۳۱ ۳۴ ۱۰	۵۴ ۲۲ ۱۴	۱
۱	۱۵۵۰	۳۱ ۳۵ ۱۰	۵۴ ۲۴ ۱۴	۲
۱	۱۵۹۰	۳۱ ۳۵ ۰۵	۵۴ ۲۳ ۱۸	۳
۱	۱۶۱۰	۳۱ ۳۵ ۰۸	۵۴ ۲۲ ۳۹	۴
۶	۱۶۳۰	۳۱ ۳۵ ۰۴	۵۴ ۲۱ ۵۷	۵
۱	۱۶۵۰	۳۱ ۳۵ ۰۴	۵۴ ۲۳ ۱۳	۶

مأخذ: نگارنده‌گان، ۱۳۹۶

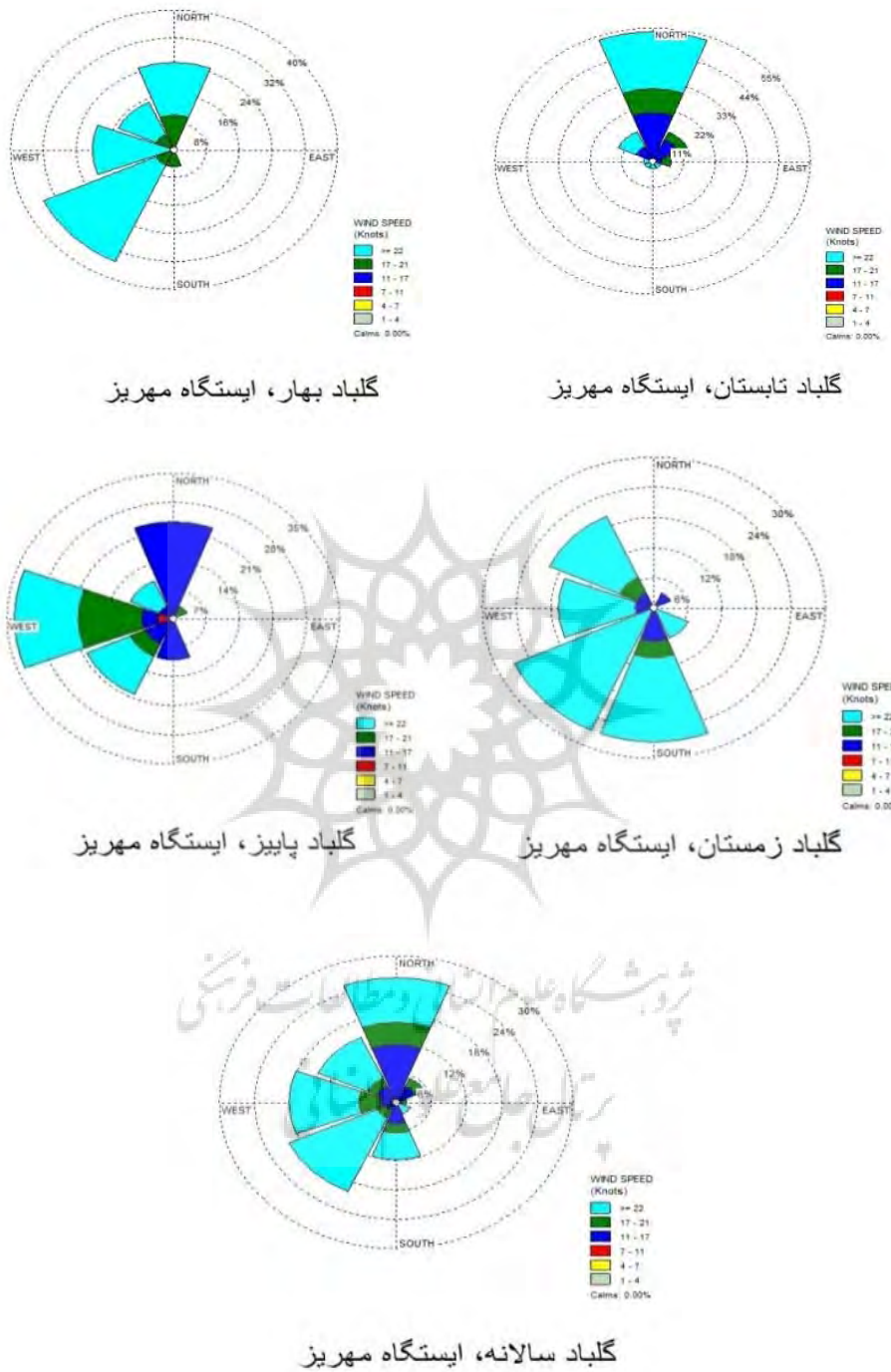
می‌دهد جهت غالب باد منطقه، شمالی-جنوبی است که مقداری از جهت کلی بادهای استان و دشت یزد اردکان (با جهت غالب باد شمال‌غربی-جنوب‌شرقی) متفاوت بوده و این تغییر تحت تأثیر شرایط توپوگرافی منطقه است. بیشترین سرعت باد غالب نیز حدود ۲۲ گره، معادل تقریباً ۴۲ کیلومتر بر ساعت است که این مقدار سرعت فراوانی سیار کمی داشته و بیشتر در فصول بهار و زمستان به وقوع می‌بینند؛ جایی که بادهای جایی توده‌های هوا در این منطقه زیاد بوده و بادها سرعت بیشتری دارند؛ اما این مقدار سرعت به چند روز در این فصول نیز محدود می‌شود. بر این اساس، سرعت بادها در تابستان و پاییز آرام‌تر شده و بادهای با سرعت بیش از ۲۰ کیلومتر بر ساعت، فراوانی بسیار محدودی دارند؛ به علاوه، جهت بادها در فصول مختلف تغییر کرده، به گونه‌ای که جهت غالب در بهار جنوب‌شرق- شمال‌غرب، در تابستان شمالی-جنوبی، در پاییز غربی-شرقی و در زمستان به شکل متناسب دو جهت جنوبی- شمالی و جنوب‌شرقی- شمال‌غربی دارد. از آنجایی که بادهای شدید با سرعت نسبتاً زیاد در بهار و زمستان می‌ وزند و جهت جنوب‌غربی- شمال‌شرقی دارند، به طور طبیعی باید جهت انتقال و قرارگیری دانه‌های درشت ماسه، در این راستا و جهت قرار گرفته باشد. سرعت متوسط بادهای شدید در بهار و زمستان به حدود ۱۱ گره (کمتر از ۲۲ کیلومتر بر ساعت) رسیده و این مقدار سرعت برای دو فصل دیگر به حدود ۱۵ کیلومتر بر ساعت می‌رسد (شکل ۴ و جدول ۲).

نخست نمونه‌ها وزن شده و به مقدار حدود ۴۰۰ گرم برای دانه‌سنگی به شکل الک خشک انتخاب شد. قطر الکهای مورد استفاده در این پژوهش از درشت به ریز به ترتیب ۴۰۰۰، ۲۰۰۰، ۱۰۰۰، ۵۰۰، ۱۲۵، ۱۲۵ میکرون بود. در ادامه با استفاده از نرم‌افزار Gradistat به تحلیل پارامترهای آماری دانه‌های رسوبی، شامل میانگین، میانه، نما، جوشیدگی، کج‌شدگی و کشیدگی پرداخته و نمودارهای تجمعی و چولگی آن‌ها ترسیم شد. همچنین، براساس داده‌های ایستگاه کلیماتولوژی مهریز، برای حدود ۱۵ سال (۱۳۹۴-۱۳۷۹) نقشه گلبداهای فصلی و سالانه منطقه، به منظور بررسی جهت و سرعت بادها ترسیم شد؛ به علاوه، از تجربه‌های حاصل از مطالعات دیگران و نتایج آن‌ها جهت برآورد مسافت حمل و همچنین رابطه بین اندازه قطر دانه‌ها و مقدار حمل با سرعت و شدت باد استفاده شد. از نرم‌افزار کورل برای بررسی لایه‌های رسوبی و نمایش اندازه ذرات در یک ترانشه رسوبی به عمق ۲۲۰ متر استفاده شد.

### یافته‌های تحقیق

#### وضعیت بادهای منطقه

در این پژوهش برای بررسی وضعیت بادهای منطقه مورد مطالعه از آمار ۱۵ ساله ایستگاه کلیماتولوژی مهریز استفاده شده است. برای این آمار، گلبداهای سالانه و فصلی برای ایستگاه مذکور ترسیم شد (شکل ۵). همان‌طور که گلبداد سالانه نشان



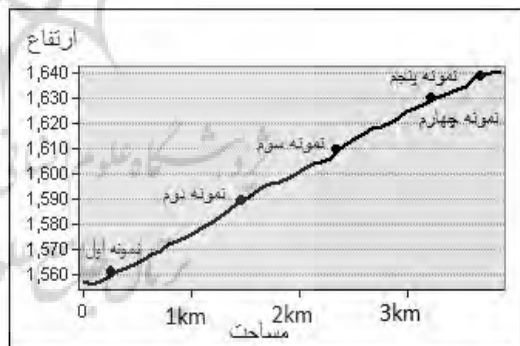
شکل ۴: گلbad فصلی و سالانه ایستگاه سینوبیتیک مهریز طی سال‌های (۲۰۰۶-۲۰۱۴)  
تهیه و ترسیم: نگارنده‌گان ۱۳۹۶

جدول ۲: گلbadهای فصلی و سالانه منطقه مورد مطالعه

جهت باد	سرعت باد (گره)	فصل
غرب و جنوب‌غرب	۱۱,۱	بهار
شمال و شمال‌غرب	۸,۸ - ۱۱,۱	تابستان
شمال و شمال‌شرق	۵,۷ - ۸,۸	پاییز
جنوب و جنوب‌غرب	۱۱,۱	زمستان
شمال‌غرب	۸,۸ - ۱۱,۱	سالانه

مأخذ: نگارندگان ۱۳۹۶

گرفت. نخست این پارامترها برای رسوبات برداشت شده از نیمرخ طولی دامنه‌ها انجام گرفت. بدین ترتیب، در امتداد نیمرخ طولی دامنه کوه، ۵ نمونه رسوبی در ارتفاع حدود ۱۰۰ متر و به طول حدود ۳ کیلومتر برداشت شد. نمونه‌ها به ترتیب از پایین به بالا از ارتفاعات ۱۵۵۰ (ساحل رودخانه در پایین‌ترین ارتفاع منطقه)، ۱۵۹۰، ۱۶۱۰، ۱۶۳۰ و ۱۶۵۰ متر (پای صخره‌های سنگی در بالاترین ارتفاع) برداشت شد (شکل ۶).



شکل ۶: نمایش نمونه‌های برداشت شده در امتداد دامنه و ارتفاع نقاط برداشت شده

تهیه و ترسیم: نگارندگان ۱۳۹۶

در زیر پارامترهای آماری مربوط به رسوبات نیمرخ

و چولگی آورده شده است (جدول ۳).

طولی دامنه شامل میانگین، جورشدگی، کشیدگی

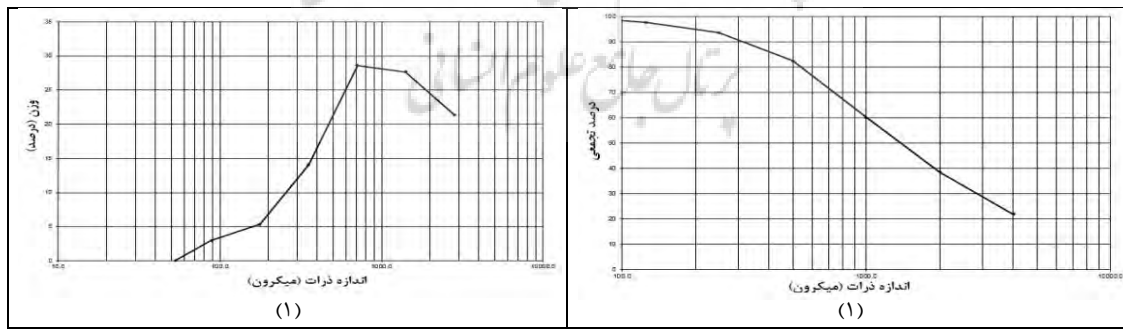
جدول ۳: پارامترهای آماری رسوی در امتداد نیمرخ طولی دامنه

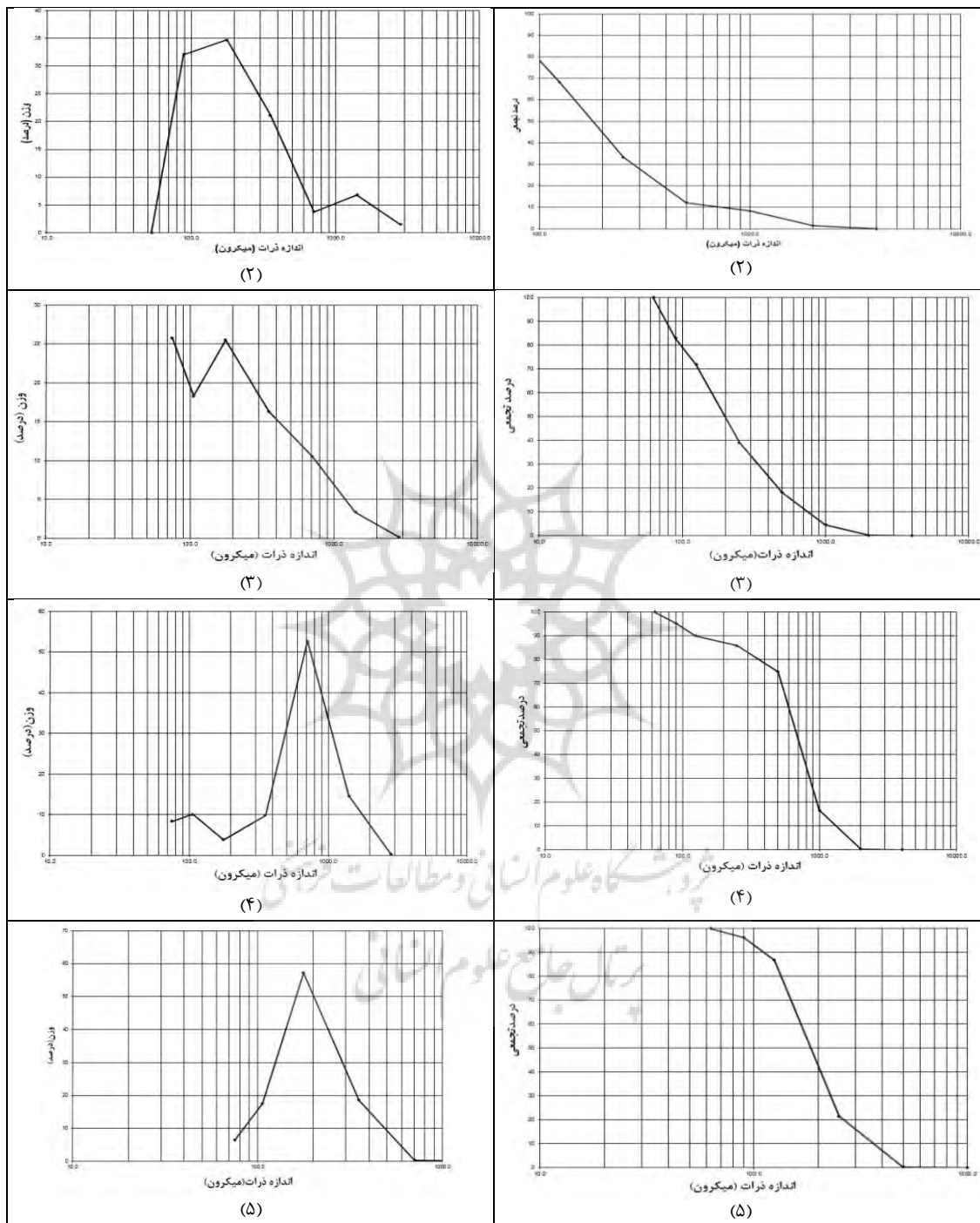
روش‌های اندازه‌گیری آماری	پارامترهای آماری دانه‌های رسوی	S1	S2	S3	S4	S5
Method of moments	mean	1876.5	282.8	277.9	604.2	178.5
	sorting	1690.0	385.7	277.2	337.5	71.7
Arthemetic( $m_m$ )	skewness	0.857	3.384	2.687	0.895	1.528
	kurtosis	2.196	15.991	13.178	5.145	6.110
Method of moments	mean	1121.2	176.2	196.7	484.0	164.2
	sorting	3.007	2.313	2.142	2.077	1.427
Geometric( $m_m$ )	skewness	-0.389	1.083	0.684	-1.119	0.557
	kurtosis	2.477	3.745	2.704	3.729	3.291
Method of moments	mean	-0.165	2.505	2.346	1.047	2.606
	sorting	1.588	1.210	1.099	1.055	0.513
Logarihmic(f)	Skewness	0.389	-1.083	-0.684	1.119	-0.557
	kurtosis	2.477	3.745	2.704	3.729	3.291

مأخذ: نگارندگان ۱۳۹۶

نمونه‌های چهارم و پنجم، دارای منحنی توزیع نرمال بوده و منحنی تجمعی آن‌ها پرشیب است. دانه‌های رسوی این نمونه‌ها سرت‌شدگی بالا و انحراف معیار پایینی دارند. بدین شکل، بیشترین کج‌شدگی و عدم تقارن در منحنی توزیع، مربوط به نمونه اول و رسوبات کtar رودخانه است؛ جایی که هیستوگرام آن منشأهای مختلفی را نشان می‌دهد (شکل ۶).

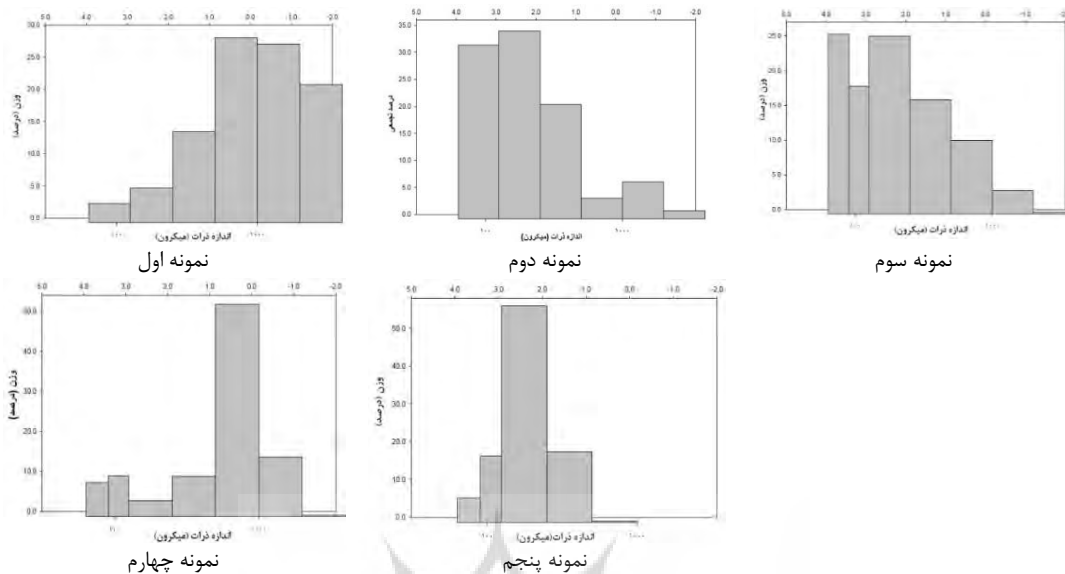
بررسی‌های دانه‌سنجی و ترسیم منحنی‌های مختلف آن‌ها نشان می‌دهد که هرچه به سمت ارتفاعات بالادست حرکت کنیم، رسوبات جوشده‌تر بوده و ذرات دانه ریزتر می‌شوند. نمودار هیستوگرام نمونه‌ها نیز نشان می‌دهد که در ارتفاعات رسوبات تک‌منشأی بوده، اما در پایین‌دست دارای خاستگاه‌ها و منشأهای مختلف و متفاوتی هستند. بر این اساس،





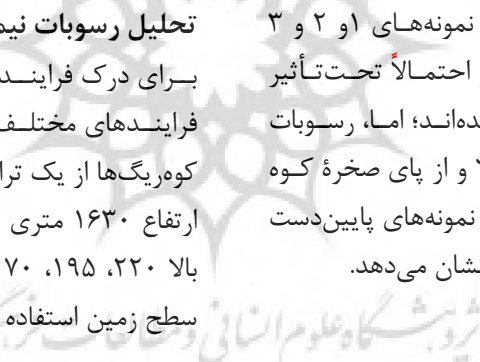
شکل ۶: نمایش منحنی‌های تجمعی و نرمال نمونه‌های رسوبی در امتداد نیمرخ طولی دامنه

تهییه و ترسیم: نگارندگان ۱۳۹۶



شکل ۷: هیستوگرام مربوطه نمونه‌های رسوبی نیمرخ طولی دامنه

تهییه و ترسیم: نگارندگان ۱۳۹۶



### تحلیل رسوبات نیمرخ عمقی

برای درک فرایندهای شکل‌گیری و نحوه دخالت فرایندهای مختلف در گذشته و همچنین تحول کوهریگ‌ها از یک ترانشه حدود ۲۲۰ سانتی‌متری در ارتفاع ۱۶۳۰ متری و در اعماق بهتری از پایین به بالا، ۲۲۰، ۱۹۵، ۱۷۰، ۱۳۵، ۹۵، و ۵۰ سانتی‌متری سطح زمین استفاده شد (شکل ۸).

براساس شکل ۷، پیداست که نمونه‌های ۱ و ۳ چند منشأ و خاستگاه داشته و احتمالاً تحت تأثیر فرایندهای مختلفی ایجاد شده‌اند؛ اما، رسوبات نمونه‌های ۴ و ۵ که از ارتفاع بالا و از پای صخره کوه برداشت شده، تکمنشأ بوده و با نمونه‌های پایین دست تفاوت چشمگیری را از این نظر نشان می‌دهد.

شکل ۸: نمایی از ترانشه عمقی برداشت رسوبات کوهریگ

تهییه و ترسیم: نگارندگان ۱۳۹۶

رسوبی سطح زمین به نسبت نمونه‌های دیگر در اعمق بیشتر ریزدانه‌تر بوده و به نظر توسط بادهای حال حاضر انتقال و رسوب گذاری داده شده است. از نظر جورشدگی نیز هیچ یک از نمونه‌ها وضعیت مناسبی ندارند؛ با این وجود نمونه‌های سطح و اعمق زمین شرایط نسبتاً بهتری دارند؛ اما نمونه‌های ۴ و ۵ در عمق حدود ۱.۵ متری بسیار جورناشده هستند. همچنین، نمونه‌های ۴ و ۵ کشیدگی بسیار پایینی دارند.

پس از برداشت رسوبات از کوه‌ریگ‌ها در عمق حدود ۲۰ متری، به دانه‌سنگی آن‌ها پرداخته و پارامترهای آماری آن‌ها شامل میانگین قطر ذرات، جورشدگی، کشیدگی و کج شدگی آن‌ها بررسی شد که نتایج آن در جدول (۴) آورده شده است. همان‌طور که از جدول (۴) برمی‌آید، نمونه‌های رسوبی در عمق‌های مختلف ویژگی‌های متفاوتی دارند، به‌گونه‌ای که میانگین قطر ذرات در عمق‌های حدود ۱.۵ متری بسیار زیاد است. حدود ۲۰ تا ۳۰ درصد این رسوبات به شکل گراول بوده و قطرهای بیش از ۴ میلی‌متر دارند؛ اما نمونه

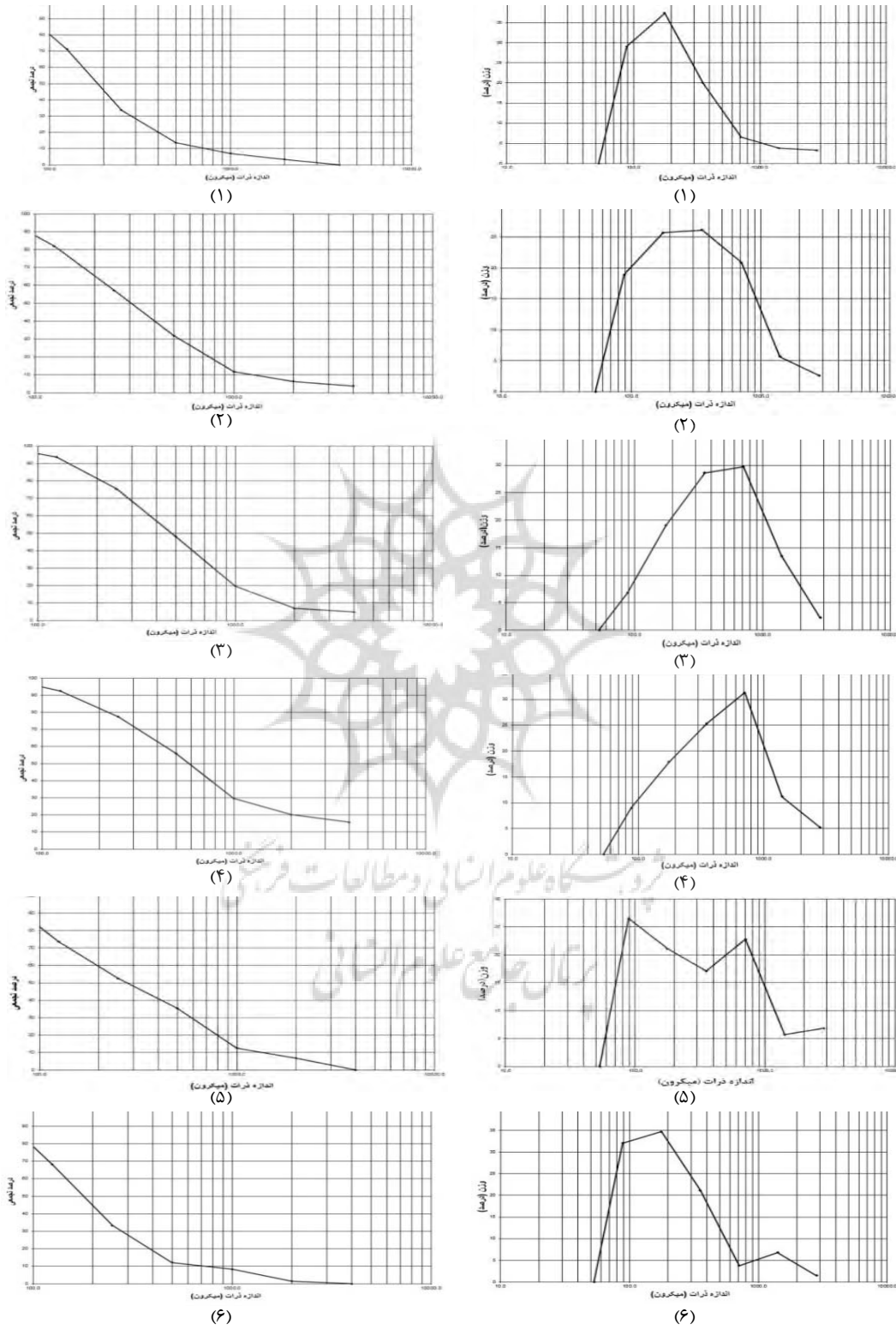
جدول ۴: تحلیل پارامترهای آماری نمونه‌های رسوبی در یک تراشه ۲۰ سانتی‌متری

روش‌های اندازه‌گیری دانه‌های رسوبی	پارامترهای آماری ارتفاع(cm)	S1	S2	S3	S4	S5	S6
		220	195	170	135	95	50
Method of moments	mean	450.1	557.5	723.1	1230.8	475.6	282.8
Arthematic( $m_m$ )	skewness	4.058	3.608	3.176	1.566	2.281	3.384
	kurtosis	19.712	15.936	12.838	3.770	7.581	15.991
Method of moments	mean	222.6	284.3	418.4	560.2	262.3	176.2
Geometric( $m_m$ )	skewness	1.116	0.768	0.473	0.370	0.440	1.083
	kurtosis	4.145	3.384	3.185	2.256	2.226	3.745
Method of moments	mean	2.168	1.814	1.257	0.836	1.931	2.505
Logarihmic(f)	Skewness	-1.116	-0.768	-0.473	-0.370	-0.440	-1.083
	kurtosis	4.145	3.384	3.185	2.256	2.226	3.745

مأخذ: نگارندهان ۱۳۹۶

به خوبی اغلب پارامترهای آماری هر یک از نمونه‌ها را؛ از جمله میانگین، میانه، نما، اندازه ذرات و نوع ماسه و حتی فرایند شکل‌دهنده آن‌ها نمایش می‌دهد (شکل ۹).

تحلیل پارامترهای هندسی رسوبات در نیمرخ عمقی بهمنظور تحلیل پارامترهای هندسی رسوبات، به شکل عمیق از دو منحنی تجمعی اندازه قطر ذرات و همچنین منحنی چولگی استفاده شده است که

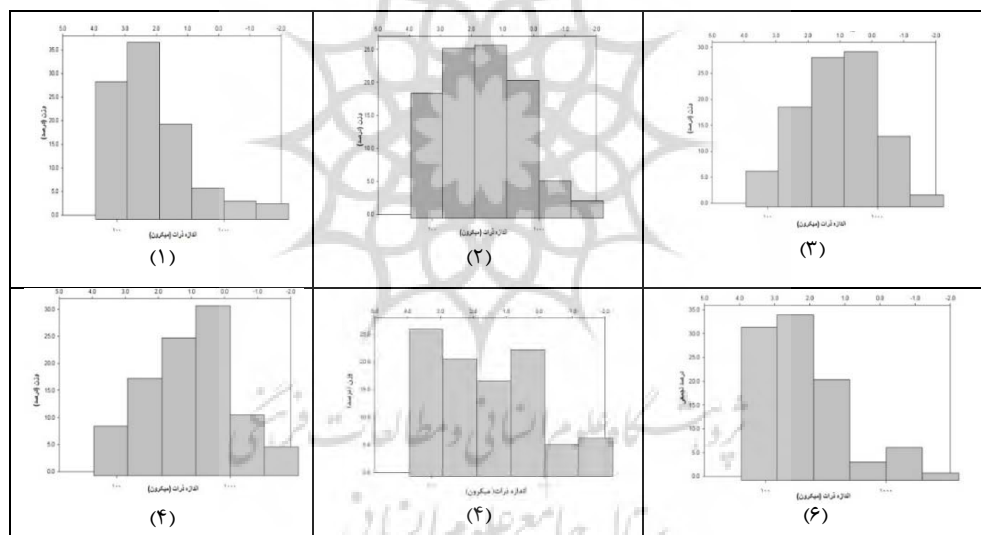


شکل ۹: نمودارهای تجمعی و چولگی نمونه‌های پروفیل عمقی کوهریگ، به ترتیب از پایین به بالا

تهیه و ترسیم: نگارندگان ۱۳۹۶

چهارم و پنجم کم بوده و منحنی توزیع نرمال آن‌ها کج‌شدگی منفی را نشان می‌دهد؛ بدین لحاظ، انحراف‌معیار دانه‌های رسوبی زیاد و جورشده‌گی آن‌ها پایین است. بدین ترتیب این نمونه‌ها که در عمق‌های میانی قرار گرفته‌اند تفاوت چشم‌گیری با نمونه‌های پایینی و بالایی خود نشان می‌دهند. منحنی تجمعی نمونه ششم سهمی شکل بوده و شبیب کمی را نشان می‌دهد؛ اما منحنی توزیع دانه‌ها دارای کمی کج‌شدگی منفی است (شکل ۱۰). این امر حاکی از دخالت فرایند بادی در شکل‌گیری این لایه رسوبی در این عمق است.

براساس منحنی‌های تجمعی و چولگی ترسیم شده از نمونه‌های رسوبی (شکل ۹)، می‌توان گفت که اندازه ذرات و مشخصات هندسی آن‌ها در عمق‌های مختلف، تغییرات محسوسی پیدا می‌کند؛ برای نمونه، در مورد اول که از ارتفاع ۲۲۰ سانتی‌متری سطح زمین برداشت شده، منحنی چولگی نسبتاً نرمال بوده و منحنی تجمعی آن کم‌شبیب است؛ بنابراین، دانه‌های رسوبی از جورشده‌گی نسبتاً خوبی برخوردارند. در نمونه دوم، شبیب منحنی تجمعی، کمی بیشتر شده، اما منحنی توزیع ذرات باز هم تقارن نسبی را نشان می‌دهد. در حالی که شبیب منحنی تجمعی نمونه‌های



شکل ۱۰: هیستوگرام‌های نمونه‌های پروفیل عمقی کوهريگ منطقه مورد مطالعه از پایین به بالا

مأخذ: تکارندگان ۱۳۹۶

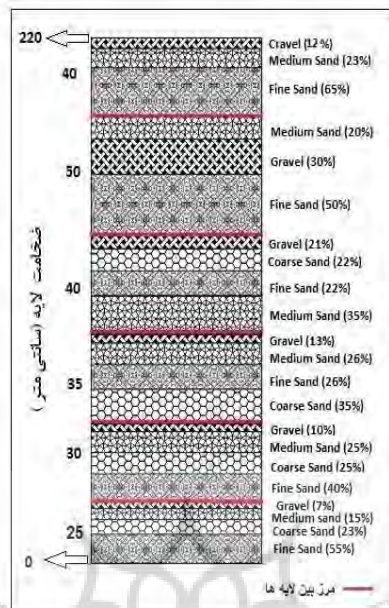
و متعددی هستند و هیچ کدام از آن‌ها تحت تأثیر یک فرایند خاص به وجود نیامده است؛ بلکه فرایندهای مختلف در طول بازه‌های زمانی مختلف کواترنر در ایجاد یک لایه از آن‌ها دخالت داشته است. بر این اساس، احتمالاً در نمونه‌های اول و سوم باد، عامل اصلی به وجود آوردنده آن‌ها بوده است؛ اما در نمونه‌های دوم و سوم و چهارم عامل باد دخالت کمتری نسبت به سایر عوامل ایفا کرده است.

هیستوگرام نمونه‌های رسوبی در لایه‌های مختلف زیر سطح زمین (شکل ۱۰) حاکی از آن است که در به وجود آوردن و توسعه رسوبات کوهريگ، فرایندهای مختلفی علاوه‌بر باد در طول زمان اثرگذار بوده است؛ از این‌رو، برخلاف بیشتر رسوبات بادی، رسوبات کوهريگ‌ها اغلب چند منشأ داشته و این امر پیچیدگی ساختار آن‌ها را نشان می‌دهد؛ درواقع، رسوبات کوهريگ‌ها در پروفیل عمقی دارای منشاهای مختلف

دانه‌درشت و گراول تشکیل می‌دهد (شکل ۱۱)؛ بنابراین، باد نمی‌تواند چنین رسوب‌هایی را بر روی دامنه‌ای با شیب بیش از ۲۰ درصد و برخلاف جهت شیب حرکت دهد. از این نظر احتمالاً فرایندهای کوه‌ریختی سبب بوجود آوردن این لایه‌ها شده است. قابل ذکر است این رسوب‌ها کمتر از یک کیلومتر و ارتفاع کمتر از ۳۰ متر از بستر رودخانه اصلی کنونی فاصله داشته و در گذشته جریان آب، بهویژه پس از ذوب یخ‌ها، می‌توانسته تا این سطح بالا آمده و نهشته‌های خود را بر جای بگذارد؛ اما بررسی‌های مختلف لایه‌ها احتمال چنین چیزی را کم می‌کند؛ چراکه پارامترهای هندسی این رسوبات با مطالعات دیگر در ایران و مناطق مختلف هم‌خوانی ندارد. بر این اساس می‌توان گفت که احتمالاً بخش‌های زیرین لایه‌های رسوبی، بادرفتی و شاید تا حدودی آبرفتی بوده و بخش‌های میانی احتمالاً کوه‌ریختی و کوه‌رفتی است؛ در واقع، دانه‌های رسوبی در بخش‌های زیرین به‌شکل بالارونده از سمت رودخانه اصلی به سمت کوه حرکت کرده و دانه‌های رسوبی بخش‌های میانی احتمالاً نتیجه هوازدگی سنگ‌های بالادست (کنگلومرای کرمان) است.

### تحلیل چینه‌نگاری رسوبات کوهریگ

برای درک و شناخت بهتر رسوبات تشکیل‌دهنده کوه‌ریگ، بهویژه آن‌هایی که در دوره‌های زمین‌شناسی گذشته تحت شرایط متفاوت اقلیمی به وجود آمدند، لایه‌های رسوبی در نرم‌افزار کورل به شکل زیر (شکل ۱۱) بهنمایش در آمدند. براساس چینه‌ها و لامینه‌های تشکیل‌دهنده کوه‌ریگ در عمق حدود بیش از ۲ متری سطح زمین، می‌توان بیان داشت که اندازه رسوبات در عمق‌های مختلف سطح زمین تغییر پیدا می‌کند؛ اما، رابطه معنی‌داری بین اعمق زمین با قطر دانه‌های رسوبی تا حدودی قابل مشاهده است. بر این اساس، لایه سطحی با ضخامت ۴۰ سانتی‌متر که در حال حاضر نیز فعال است، دانه‌های بسیار ریزتری به نسبت سایر لایه‌های زیرین دارد. این لایه، براساس تحلیل‌های رسوبی نیز سرتشدگی بالا و انحراف‌معیار کمتری دارد. اندازه دانه‌ها و منحنی‌های توزیع نرمال و تجمعی حاکی از نقش فرایند باد در انتقال و شکل‌دهی آن دارد. این لایه بسیار جدید و سست بوده و از نظر مورفودینامیکی هنوز فعال است؛ اما لایه‌های زیرین، بهویژه در عمق حدود ۱ تا ۱,۵ متری دارای گراول بوده، به‌گونه‌ای که برخی لایه‌ها گراول حدود ۳۰ درصدی دارند. ضخامت این لایه حدود ۵۰ سانتی‌متر بوده و بخش قابل توجهی از آن را ماسه‌های



شکل ۱۱: لایه‌های مختلف رسوبی کوه‌ریگ در یک تراشه ۲۲۰ سانتی‌متری

تهییه و ترسیم: نگارندگان ۱۳۹۶

### رابطه فاصله حمل و قطر ذرات

فاصله حمل ذرات رابطه مستقیمی با قطر آن‌ها دارد.

طبعی است با افزایش قطر ذرات، فاصله حمل نیز

کمتر می‌شود؛ بهطوری‌که ذرات با قطر بیشتر از ۲۵۰

منشأ حمل شوند (حمدی، ۱۳۹۷، جدول ۵).

جدول ۵: رابطه بین قطر ذرات و فاصله حمل آن‌ها

فاصله جابه‌جایی به Km	قطر ذرات به mm
بزرگ‌تر از ۱	۱-۵
۱-۵	۰/۵-۱
۵-۲۰	۰/۲۵-۰/۵
۲۰-۵۰	۰/۱۲۵-۰/۲۵
۵۰-۲۰۰	۰/۰۶۴-۰/۱۲۵
بیشتر از ۲۰۰	۰/۰۶۴
کمتر از ۱	

مأخذ: حمدی، ۱۳۹۷

### رابطه بین سرعت باد و انتقال ذرات

ارتباط نزدیکی بین توزیع اندازه ذرات رسوب، خاک (17: Goossens, 2007) و همچنین فرایند حمل و انتقال ذرات وجود دارد (Sun et al., 2002: 263). به سخن ساده‌تر، بادها با سرعت آستانه‌های مختلف، رسوباتی با قطرهای متفاوت را جابه‌جا می‌کنند. بر این اساس، بادی با سرعت ۱۶ تا ۲۴ کیلومتر بر ساعت می‌تواند حداکثر دانه‌های با قطر ۰,۲۵ میلی‌متر را جابه‌جا کند و برای جابه‌جایی ماسه‌های با قطر بیش از یک میلی‌متر، سرعت‌های بیش از ۴۰ کیلومتر بر ساعت نیاز است (جدول ۶).

براساس تحلیل نمونه‌های رسوبی در امتداد دامنه و در لایه‌های عمقی زیر سطح زمین (جدول ۵) و ویژگی‌های سرعت باد (شکل ۵)، مشاهده می‌شود که بیشتر دانه‌های رسوبی نمونه‌های مورد مطالعه، منشاء محلی داشته و کمتر از یک کیلومتر از محل خود فاصله گرفته‌اند. با فرض اینکه باد عامل اصلی انتقال آن‌ها بوده است؛ با این وجود، برخی از دانه‌ها قطرهای بیشتر از ۴ میلی‌متر دارند که باد در هیچ شرایطی قادر به انتقال آن‌ها نیست؛ به علاوه، جهت باد غالباً برخلاف شیب دامنه بوده و این دانه‌های رسوبی درشت نیز باید همراه باد در شیب بیش از ۳۰ درصد بالا رفته که امری غیرمنطقی بهنظر می‌رسد.

جدول ۶: رابطه بین سرعت باد و اندازه ذرات

سرعت باد (km/h)	ماکریم قطر ذراتی که جا به جا می‌شود (mm)
۱۶-۲۴	۰,۲۵
۲۴-۳۰	۰,۵
۳۰-۳۵	۰,۷۵
۳۵-۴۰	۱,۵
۴۰-۴۵	۱,۵

مأخذ: اقتباس از /حمدی، ۱۳۸۷

براساس پارامترهای آماری، نمونه‌های رسوبی منطقه موردمطالعه (جداویل ۳ و ۴) و ویژگی‌های بادهای غالب و فصلی (شکل ۵)، مشاهده می‌شود که باد قادر به جابه‌جایی بسیاری از ذرات رسوبی موجود در امتداد دامنه، چه در حال حاضر و چه در گذشته، نبوده است. به این دلیل که در بسیاری از نمونه‌ها رسوبات با قطر بیش از ۴ میلی‌متر وجود دارد. همچنین، ذراتی با قطر بیش از ۰,۵ میلی‌متر بیشترین فراوانی رسوبات را به

جدول ۷: رابطه بین سرعت باد و اندازه ذرات رسوبی در امتداد دامنه

نمونه‌ها	میانگین قطر ذرات به میلی‌متر	درصد قطر ذرات بزرگ‌تر از ۴ میلی‌متر	درصد قطر ذرات بزرگ‌تر از ۲ میلی‌متر	درصد قطر ذرات بزرگ‌تر از ۱ میلی‌متر	درصد قطر ذرات بزرگ‌تر از ۰,۵ میلی‌متر	مجموع درصد ذرات بزرگ‌تر از ۰,۵ میلی‌متر
۱	۱,۹	۲۲	۱۷	۲۲	۲۳	۸۴
۲	۰,۲۸	۱	۱	۷	۴	۱۳
۳	۰,۲۷	۰	۰	۰	۳۱	۳۱
۴	۰,۶۴	۳	۲۴	۱۶	۴۸	۹۱
۵	۰,۱۸	۰	۰	۰	۳۲	۳۲

مأخذ: نگارنده‌گان، ۱۳۹۶

جدول ۸: رابطه بین سرعت باد و اندازه ذرات رسوبی در پروفیل عمقی منطقه مورد مطالعه

نمونه‌ها	میانگین قطر ذرات به میلی‌متر	درصد قطر ذرات بزرگ‌تر از ۴ میلی‌متر	درصد قطر ذرات بزرگ‌تر از ۲ میلی‌متر	درصد قطر ذرات بزرگ‌تر از ۱ میلی‌متر	درصد قطر ذرات بزرگ‌تر از ۰,۵ میلی‌متر	مجموع درصد ذرات بزرگ‌تر از ۰,۵ میلی‌متر
۱	۰,۴۵	۳	۳	۵	۱۶	۲۷
۲	۰,۵۶	۳	۳	۵	۲۰	۳۱
۳	۰,۷۳	۵	۲	۱۳	۳۰	۵۰
۴	۱,۲۳	۱۹	۵	۱۲	۳۶	۷۲
۵	۰,۴۸	۵	۷	۶	۲۳	۴۲
۶	۰,۲۸	۶	۱	۷	۴	۱۸

مأخذ: نگارنده‌گان، ۱۳۹۶

میدانی در این دشت نشان داد که این عارضه تنها در گوشۀ کوچکی از دشت وسیع ابراهیم‌آباد برروی دامنه کوههای نسبتاً مرتفع و پرشیب در پای صخره‌ها قرار گرفته است. این دشت، یک دشت کاملاً آبرفتی بوده که در سایر دامنه‌های آن مخربوط‌افکنه‌های نسبتاً بزرگی به وجود آمده که برخی از آن‌ها بسیار حديد و برخی به دوره‌های احتمالاً پلیو-پلئیستوسن برمی‌گردد. دشت به شکل سطح اساس حوضه‌های متعدد کوچک و بزرگ بالادست بوده و یک رودخانه اتفاقی نسبتاً بزرگ به شکل مسیل از داخل آن می‌گذرد که احتمالاً در دوره‌های قبلی زمین‌شناسی از آب بیشتری برخوردار بوده است؛ بنابراین رسوب‌های زیاد آبرفتی را می‌توان در اطراف بستر رودخانه کنونی

نتیجه کوه‌ریگ‌ها از نظر ویژگی‌های رسوبی و پارامترهای هندسی شباهت‌های بسیاری با نهشته‌های رسوبی پادی دارند؛ اما بررسی‌های دقیق‌تر این ویژگی‌ها تفاوت‌های قابل توجهی را نشان می‌دهد. مهم‌تر اینکه مورفولوژی کوه‌ریگ‌ها منحصر به فرد بوده و با همه اشکال شناخته‌شده ماسه‌ای دیگر، اعم از ساحلی یا بیابانی متفاوت است؛ بدین‌شكل، برخلاف تپه‌های ماسه‌ای پادی، پیچیدگی رسوب‌شناسی، فرم‌شناسی، فرایندشناسی و محیط‌شناسی زیادی دارند. در دشت ابراهیم‌آباد در جنوب‌شرق شهر یزد و در غرب مهریز، تنه‌نشسته‌های رسوبی ماسه‌ای وجود دارد که در اصطلاح محلی، کوه‌ریگ گفته می‌شوند. بررسی‌های

البته پس از شکل‌گیری شاکله اصلی کوهریگ و پایین‌آمدن دانه‌های رسوبی تخریب شده بروی دامنه، بادها نیز دست به کار شده و دانه‌های ریزتر را از بخش دشت و از داخل رسوبات آبرفتی و مخروطافکنه‌ای به داخل کوهریگ‌ها منتقل کرده است؛ البته، در برخی دوره‌ها، فعالیت‌های بادی، اثرگذاری بیشتری داشته‌اند؛ به همین دلیل قطر دانه‌های رسوبی نمیرخ عمقی در سطح زمین و در عمق حدود ۲ متری سطح زمین اغلب کمتر از ۲ میلی‌متر بوده و باد قادر به انتقال این رسوبات بوده است؛ اما عمق حدود ۷۰ سانتی‌متر تا ۱۸۰ سانتی‌متر را دانه‌های رسوبی بزرگ‌تری (گراول و دانه‌های با قطر بیش از ۴ میلی‌متر) تشکیل می‌دهد که باد قادر به جابه‌جایی آن‌ها نمی‌باشد. همچنین، رسوب‌های سطح زمین حتی در ارتفاعات بالا، قطرهای کمتر از ۲ میلی‌متر دارند که نشان‌دهنده دخالت فرایند باد در جابه‌جایی و رسوب‌دهی آن‌هاست.

در حال حاضر ماسه‌های تشکیل‌دهنده کوهریگ از نظر مورفودینامیکی فعال بوده و آبهای جاری ناشی از بارش در بالادست و همچنین نیروی ثقل، توسط باد جابه‌جا می‌شوند. هرچند قلمروی محدود آن‌ها به دلیل جهت باد و تopoگرافی زمین، به دامنه‌های جنوب‌شرق منطقه محدود می‌باشد؛ از این‌رو می‌توان اظهار داشت که کوهریگ‌ها حاصل تخریب و هوازدگی فیزیکی سنگ‌های بالادست (کنگلومراي کرمان) و پایین‌آمدن دانه‌های رسوبی از دامنه تحت تأثیر نیروی گرانی زمین، وجود رسوبات ریزدانه آبرفتی در بستر رودخانه در پایین‌دست دشت و دخالت باد در شرایط مختلف است. از آنجاکه دانه‌های رسوبی کوهریگ تا ساحل رودخانه کشیده شده و در بستر رودخانه قدیمی نیز چنین دانه‌هایی وجود دارد، همچنین دانه‌های رسوبی این بخش‌ها از گردش‌گی بیشتری برخوردار هستند،

نیز مشاهده کرد که می‌توانسته مواد شکل‌گیری تپه‌ها یا کوهریگ‌ها را فراهم کند. بر این اساس، به‌منظور شناخت محیط شکل‌گیری و فرایندهای مؤثر در ایجاد و توسعه آن‌ها به مطالعه شرایط بادهای منطقه در حدود ۱۵ سال اخیر از یک سو و بررسی دانه‌های رسوبی و مشخصات آن‌ها از سوی دیگر پرداخته شد. بررسی جهت بادهای غالب و حتی فرعی، با نحوه استقرار و تهنشست کوهریگ‌ها با حجم بسیار زیاد ماسه، نشان می‌دهد که اسکلت اصلی کوهریگ با جهت هیچ‌کدام از بادها قابل توجیه نیست. همچنین، بررسی اندازه میانگین قطر دانه‌ها، چه در امتداد نمیرخ طولی و چه نمیرخ عمقی، حاکی از آن است که بخش عمده‌ای از دانه‌های رسوبی با شدت بادهای کنونی، قابلیت انتقال و جابه‌جایی ندارند. با فرض اینکه بادها دخالت زیادی در پیدایش و تحول کوهریگ‌ها ایفا کرده باشند، باید از قدرت و شدت بیشتری در گذشته برخوردار بوده و جهت آن نیز در امتداد شمال‌غرب-جنوب‌شرق بوده باشد؛ با این وجود، بخش عمده‌ای از ذرات رسوبی، بیش از ۲ میلی‌متر قطر داشته و در هیچ شرایطی به‌شکل جهشی نمی‌توانسته‌اند توسط باد جابه‌جا شوند. ماسه‌های رسوبی بروی دامنه با شبیه بیش از ۲۰ درصد قرار گرفته و امکان غلطیدن آن‌ها در فاصله بیش از ۳ کیلومتر و ارتفاع بیش از ۱۰۰ متر عمودی وجود نداشته است؛ بنابراین می‌توان حدس زد که بخش عمده‌ای از کوهریگ‌های دشت ابراهیم‌آباد، حاصل فرایند پایین‌آمدگی دانه‌های ماسه پس از تخریب هوازدگی فیزیکی‌شان در دوره‌های سرد کواترنر (احتمالاً شرایط مورفوکلیماتیک جنب یخچالی) تحت تأثیر نیروی ثقل است. وجود قطعه‌سنگ‌های بسیار بزرگ کنگلومرا در داخل رسوبات و تخریب فیزیکی مداوم آن‌ها، می‌تواند این فرضیه را تأیید کند؛

## منابع

- احمدی، حسن (۱۳۸۷). *ژئومورفولوژی کاربردی (فرسایش بادی)*. انتشارات دانشگاه تهران. چاپ سوم. صفحه ۷۰۶.
- اهری‌پور، رضا؛ مصدق، حسین (۱۳۸۵). *مبانی رسوب‌شناسی*. تهران. انتشارات علوی.
- دهواری، عبدالمجید؛ فیض‌نیا، سادات؛ احمدی، حسن (۱۳۸۴). نقش بررسی‌های کانی‌شناسی و شاخص‌های آماری رسوبات در منشأ‌یابی تپه‌ماسه‌های شندان سراوان-بلوچستان، مجلهٔ منابع طبیعی ایران. جلد ۵۸، شماره ۴. صفحات ۷۴۳-۷۵۷.
- شهریار، علی؛ لرستانی، قاسم؛ مقصودی، مهران (۱۳۹۲). بررسی شکل و دانه‌سنگی ذرات ماسه در مناطق داخلی و ساحلی ایران (مطالعهٔ موردنی: ریگ مرنجاب-ساحل جاسک)، کاوش‌نامهٔ جغرافیای مناطق بیابانی. سال اول. شماره ۲. صفحات ۱۷-۳۵.
- عباسی، مرضیه؛ فیض‌نیا، سادات؛ عباسی، حمیدرضا؛ کاظمی، یونس؛ قرنجیک، احمد (۱۳۹۰). بررسی دانه‌بندی و کانی‌شناسی رسوبات در منشأ‌یابی تپه‌های ماسه‌ای بلوچستان، تحقیقات مرتع و بیابان ایران. ۳. صفحات ۴۴۱-۴۵۱.
- قانعی‌بافقی، محمدجواد؛ یاراحمدی، علیرضا (۱۳۹۰). بررسی رابطهٔ دانه‌بندی رسوبات تپه‌های ماسه‌ای حسن‌آباد بافق با جهت باد فرساینده با استفاده از زمین آمار، نشریهٔ مرتع و آبخیزداری. مجلهٔ منابع طبیعی ایران. دوره ۲. صفحه ۶۳-۲۴۸.
- شریفی پیچون، محمد؛ دهقان، فاطمه (۱۳۹۵). ارزیابی فرایندهای مؤثر بر شکل‌گیری و تحول کوه‌ریگ‌ها (مورد مطالعه: کوه‌ریگ‌های تنگ چنار)، فصلنامهٔ پژوهش‌های ژئومورفولوژی کمی، دوره ۵، شماره ۳. صفحات ۱۹-۱.

احتمالاً<sup>۱</sup> بخشی از رسوبات کوه‌ریگ از مخروط‌افکنهای دامنه‌ای و همچنین بستر آبرفتی رودخانه، نخست توسط آب انتقال پیدا کرده و سپس توسط باد به سمت دامنه کوه جابه‌جا شده و پس از برخورد با کوه، برروی دامنه آن تهنشست پیدا کرده است. بر اساس مطالعات مختلف دربارهٔ انواع محیط‌های رسوبی و اندازهٔ ذرات ماسه (سلی<sup>۲</sup>، ۱۹۷۶)، می‌توان گفت هر محیط رسوبی دارای شکل منحنی هیستوگرام خاصی است. هیستوگرام نمونه‌های رسوبی نیز چندمنشأ‌یابی بودن رسوبات را تأیید کرده؛ به‌گونه‌ای که از بین ۱۱ نمونه بررسی شده، تنها دو نمونه از رسوبات سطحی در پایین دست دامنه دارای منشأ واحدی (باد) بوده و هیستوگرام سایر نمونه‌ها، اغلب بیش از چند منشأ را نشان می‌دهد. منحنی‌های تجمعی و توزیع نرمال دانه‌های رسوبی نیز اختلافات چشم‌گیری را نشان می‌دهند به‌نحوی که شکل و شب منحنی‌ها، محیط‌ها و فرایندهای مختلف رسوب‌گذاری را نشان می‌دهند؛ زیرا هر محیط رسوبی دارای شکل خاصی از منحنی هیستوگرام و تجمعی است و از روی این منحنی‌ها تا حدودی می‌توان به نوع محیط رسوبی پی‌برد (اهری‌پور و مصدق، ۱۳۹۵: ۷۵؛ بدین ترتیب، کوه‌ریگ‌ها برخلاف سایر رسوبات بادی و تپه‌های ماسه‌ای، شرایط شکل‌گیری و تحول پیچیده‌ای را پشت‌سر گذاشته‌اند؛ به‌گونه‌ای که انتقال ماسه‌ها برروی دامنه، هم به‌شكل نزولی (پایین‌رونده<sup>۳</sup>) و هم به‌شكل صعودی (بالارونده<sup>۳</sup>) با نیروی ثقل و باد صورت گرفته است).

- Livingstone, I. & A. Warren (1996). Aeolian Geomorphology, Longman, London,
- Mahan, S. A.; Miller, D., M.; MEnges, C. M.; Yount, J.c. (2007). Late quaternary stratigraphy and luminescence geochronology of the northeastern Mojave Desert, Quaternary International, Vol. 166, Pp. 66-78
- Peele, T. L (1981). An overview. In T. L. Peele (Ed.), Desert dust: Origin, characteristics, and effect on man (pp. 1–10). Boulder: Geological Society of America Series (Special paper Geological Society of America Series 186.
- Selley, R (1976). An introduction to sedimentology, Academic Press, 408 pages.
- Sun, D., J. Bloemendal, D.K. Rea, J. Vandenberghe, F. Jiang, Z. An and R. Su (2002). Grain-size distribution functions of polymodal sediments in hydraulic and aeolian environment and numerical partitioning of the sedimentary components. *Sedimentary Geology*, 152:263-277.
- Tchakerian, V.P (1991). Late Quaternary aeolian geomorphology of the Dale Lake sand Sheet, southern Mojave Desert, California. *Physical Geography* 12, 347-437.
- Tchakerian, V. P., Lancaster, N (2002). Late Quaternary arid/humid cycles in the Mojave desert and -western Great Basin of North America. *Quaternary Science Reviews* 21, 799-810.
- 29-Telfer, M.W., Thomas, Z.A., Breman, B. (2012). Sand ramps in the Golden Gate Highlands National Park, South Africa: evidence of periglacial Aeolian activity during the Last glacial, *Paleogeography, Paleoclimatology, Paleoecology* 313-4, 59-69.
- Thomas, D.S.G., Bateman, M.D., Mehrshahi, D., O. Hara, S.L (1997). Development and environmental significance of an Aeolian sand ramp of last-glacial age, central Iran, *Quaternary Research* 48, 155-161.
- Zaady, E., Dody, A., Weiner, D., Barkai, D., & Offer, ZY (2008). A comprehensive method for Aeolian particle Granulometry&micromorphology analyses.
- Zimbelman, J. R; S. H. Williams and V.P. Tchakerian (1995). "Sand transport pathways in the Mojave Desert, Southwestern United States". *Desert Aeolian Processes*. Edt. V. P. Tchakerian. London, Chapman & Hall: 101-129.
- مهرشاهی، داریوش؛ تامس، دیوید؛ بیتمن، مارک؛ اوهارا، سارا (۱۳۷۷). چگونگی تشکیل، تحول و تعیین سن کوه‌ریگ اردکان یزد، *تحقیقات جغرافیایی*. شماره ۵۱. صفحات ۱۰۲-۱۲۰.
- مهرشاهی، داریوش (۱۳۷۹). آشنایی عمومی با پدیده کوه‌ریگ و پراکندگی جغرافیایی و اهمیت کوه‌ریگ‌های استان یزد، *کاوش‌نامه علوم انسانی*. سال اول. شماره ۱. صفحات ۱۱۱-۱۲۲.
- مهرشاهی، داریوش؛ خسرویانی، فرزاد (۱۳۸۹). تعیین منشأ کوه‌ریگ‌های دامنه باختری تپه‌های بغداد آباد مهریز با ترکیب داده‌های ژئومورفولوژی، کانی شناسی، سنجش از دور و سیستم اطلاعات جغرافیایی، دو میان همایش ملی فرسایش بادی یزد. انجمن علمی مدیریت و کنترل مناطق بیابانی ایران.
- مهرشاهی، داریوش (۱۳۹۰). کوه‌ریگ‌شناسی: مطالعات موردي در استان یزد، *جغرافیا و توسعه*. شماره ۲۵. صفحات ۱۵۹-۱۷۸.
- Bateman, M., D.; Bryant, R., G.; Foster, I.; Livingstone, I., And Parsons, A., J (2012). on the formation of sand ramps: A case study from the Mojave Desert, *Geomorphology*, vol 161-162, PP. 93-109.
- Goossens, D (2007). Bias in grain size distribution of deposited atmospheric dust due to the collection particles in sediment catchers. *Catena*, 70:16-24.
- Guang, H., Guifang, Z., & Wenbin, Y. (2004). A quantitative analysis on the sources of dune sand in the Hulun Buir Sandy Land: application of stepwise discriminant analysis (SDA) to the granulometric data , *Journal of geographical science*, Vol. 14, Issue2, PP. 177-186
- Kumar, A.; Srivastava, P. and Meena, N., K. (2017). Late Pleistocene Aeolian in the cold desert of Ladakh: A record from sand ramps, *Quaternary international*, *Quaternary International*, 443, PP. 13-28
- Lancaster, N., and Tchakerian, V., P. (1996). Geomorphology and sediments of sand ramps in the Mojave Desert, *Geomorphology*, 17(1): 151-165.



پژوهشگاه علوم انسانی و مطالعات فرهنگی  
برگال جامع علوم انسانی